

Relatório: Trabalho ICC Parte 2

Guilherme Bastos de Oliveira
GRR20167818
gbo16@inf.ufpr.br

Mariana Carmin
GRR20167282
mc16@inf.ufpr.br

Departamento de Informática - Universidade Federal do Paraná
Novembro de 2017

Resumo

Este relatório irá apresentar e discutir os resultados obtidos na segunda parte do trabalho de Introdução a Computação Científica. O objetivo foi otimizar o código da primeira parte utilizando os conceitos apreendidos em aula. O resultado foi satisfatório em quesito de desempenho avaliando o tempo de execução, porém não foi possível aplicar corretamente todas as melhorias planejadas. Ao longo do texto, uma breve explicação sobre o funcionamento do código será feita, depois uma exposição detalhada das alterações e por fim uma análise dos resultados.

Sumário

1	Introdução	2
2	Informações Sobre o Trabalho	3
2.1	Termos	3
2.2	Etapas de Execução	3
3	Alterações	4
3.1	Alocação de Memória	4
3.1.1	Modificações Implementadas	4
3.1.2	Resultados	5
3.2	Acesso da Matriz Inversa	5
3.2.1	Modificações Implementadas	5
3.3	Matrizes L e U	6
3.3.1	Modificações Implementadas	6
3.3.2	Custos Adicionais	7
3.3.3	Dificuldades	7
3.4	Matriz Resíduo	7
3.4.1	Modificações Implementadas	8
3.4.2	Custos Adicionais	8
3.4.3	Dificuldades	8

4	Análise de Desempenho	9
4.1	Obtenção de Dados	9
4.1.1	Tempo	9
4.1.2	Cache L2 - Miss Ratio	9
4.1.3	Operações de Ponto Flutuante	9
4.1.4	Cache L3 - Bandwith	10
4.2	Análise dos Dados Obtidos	10
4.3	Possíveis Conclusões	13
5	Considerações finais	15

Lista de Gráficos

1	tempo de execução	10
2	tempo médio	11
3	operações ponto flutuante	11
4	operações AVX	12
5	miss ratio da L2	12
6	bandwidth da L3	13

Lista de Códigos

1	macro alocaAlinhado (utils.h)	5
2	acesso invertido (core.c)	5
3	acesso invertido (core.c)	5
4	acesso invertido (invmat.c)	5
5	acesso normal (entrada_saida.c)	5
6	alocação de L e U (utils.c)	6
7	macros para acesso de L e U (utils.h)	6
8	reordenação de L e U (core.c)	6
9	laço de solução de sistema (core.c)	6
10	macros para acesso modificado de L e U (utils.h)	7
11	laço do cálculo do resíduo (core.c)	8
12	transposição da matriz entrada (core.c)	8

1 Introdução

Este relatório acompanha um pacote de arquivos que contém os códigos analisados e informações sobre o sistema utilizado para os testes, todos os arquivos citados podem ser encontrados neste pacote.

Para realizar a segunda parte do trabalho o código criado durante a primeira parte foi completamente reescrito, para que ficasse mais claro e fácil de ser alterado. Nessa refatoração nenhuma tentativa de otimização foi realizada, o

objetivo foi aplicar as mesmas técnicas da primeira versão implementada, porém de maneira mais clara e modular.

A partir de agora a segunda versão não otimizada será referenciada como *original*. O código com todas as alterações realizadas para esta etapa do trabalho será referenciada como *otimizada*.

Na seção seguinte algumas explicações sobre a estrutura do trabalho e nomenclaturas serão apresentadas.

O principal foco das otimizações aplicadas possui relação com acesso à memória, e cada alteração será explicada na seção 3.

Os resultados obtidos com a análise de desempenho utilizando a *marker API* do LIKWID serão descritos na seção 4.

Por fim na seção 5 serão apresentadas considerações finais.

2 Informações Sobre o Trabalho

Para garantir um entendimento melhor sobre o que foi realizado é importante definir termos que serão utilizados ao longo do texto e compreender basicamente o funcionamento do programa. Nesta seção serão apresentadas algumas nomenclaturas utilizadas para designar certas estruturas e funções, posteriormente uma sequência das etapas de execução do código será mostrada.

Para facilitar o entendimento do código em si é possível ler um breve sumário dos arquivos fontes no [*readme.md*](#) e gerar uma documentação, instruções para isso estão também no arquivo [*readme.md*](#).

2.1 Termos

- **N:** tamanho do lado de uma matriz quadrada ($N \times N$)
- **matriz entrada:** refere-se ao vetor que armazena a matriz cuja inversa deverá ser calculada
- **matriz inversa:** refere-se ao vetor que armazena a matriz inversa
- **matriz LU:** refere-se ao vetor que armazena as matrizes L e U juntas
- **matriz L:** refere-se ao vetor que armazena apenas a matriz L
- **matriz U:** refere-se ao vetor que armazena apenas a matriz U
- **decompLU:** refere-se à função `decompLU()`
- **resolveSistema:** refere-se à função `resolveSistema()`

2.2 Etapas de Execução

1. Leitura de dados
2. Alocação de Memória

3. Decomposição LU (eliminação de Gauss com pivotamento parcial)
4. Primeira solução do sistema para encontrar a inversa
5. Refinamento da solução obtida
 - (a) transposição matriz entrada
 - (b) cálculo da matriz de resíduo
 - (c) resolução do sistema com resíduo no *right hand side*
 - (d) acréscimo da solução do sistema a matriz inversa
 - (e) todas as iterações realizadas? fim refinamento : volta ao passo (b)
6. Impressão do tempo de execução de cada operação
7. Impressão da matriz inversa obtida

3 Alterações

Antes de iniciar o detalhamento das alterações realizadas é interessante informar que a técnica de *loopblocking* foi testada, porém não gerou resultado positivo no desempenho do código, e por esse motivo foi retirada da versão otimizada final e não será discutida neste trabalho.

A falta de resultado positivo com o uso de *loopblocking* se dá pelo fato de os laços realizarem acessos de dados de maneira desfavorável a tal técnica.

O código otimizado permitiu que ocorressem operações utilizando AVX, como poderá ser visto melhor na análise de operações de ponto flutuante, mas o feito de utilizar as operações de modo eficiente não foi alcançado.

O teste para isso se baseou em comparar o desempenho do código compilado com as *flags* padrões do trabalho (*-O3 -mavx -march=native*) com o desempenho do mesmo código compilado com as mesmas flags, exceto pela substituição de *-mavx* por *-mno-avx*. O resultado obtido não foi satisfatório para assumir o uso eficiente de AVX.

Todos os arquivos que serão comentados nesta seção podem ser encontrados no diretório raiz do trabalho.

3.1 Alocação de Memória

A alocação de memória na versão original ocorria apenas com a chamada da função **malloc()** da *libc*, essa função não garante alinhamento, por este motivo na versão otimizada foi utilizada a função **posix_memalign()** da *libc*.

3.1.1 Modificações Implementadas

Para chegar no resultado desejado duas principais mudanças foram feitas no código, primeiro foi definida uma macro (ver Código 1) que aloca uma quantidade de memória \underline{t} , e faz o ponteiro \underline{ptr} apontar para o início deste espaço.

```
22: #define alocaAlinhado(ptr,t) (posix_memalign((void **)(ptr),32,
    sizeof(double)*(t)))
```

Código 1: macro alocaAlinhado (utils.h)

Com essa definição para auxiliar nesta tarefa, todas as chamadas de **malloc()** foram substituídas pelo uso de alocaAlinhado.

3.1.2 Resultados

A motivação inicial para esta modificação era tornar o uso de AVX mais eficiente e permitir acesso de memória mais otimizado, infelizmente como já comentado na introdução os resultados não foram satisfatórios.

Pela falta de resultados claros não foi possível determinar exatamente o efeito que a alteração teve sobre o desempenho. O tempo gasto pela versão com AVX e o tempo gasto pela versão sem AVX é virtualmente idêntico.

3.2 Acesso da Matriz Inversa

A versão original utiliza uma matriz para armazenar a solução obtida pelo programa. Os acessos de memória dessa matriz geralmente ocorrem de maneira transposta, ou seja, existiam mais acessos feitos em colunas \rightarrow linhas do que linhas \rightarrow colunas.

Na versão otimizada o acesso foi invertido na maior parte dos casos, ou seja, a matriz é mais acessada por linhas \rightarrow colunas e como isso ocorre tanto na escrita quanto na leitura os dados estão na ordem correta e são lidos de maneira sequencial da memória.

3.2.1 Modificações Implementadas

Em todos os acessos à matriz inversa os índices i e j foram invertidos, garantindo sequencialidade em quase todos os casos (ver Códigos 2, 3 e 4), exceto na impressão de matriz (ver Código 5). Como a impressão ocorre apenas uma vez durante o código e é composta apenas por leitura de dados o ganho no resto dos acessos compensa.

```
204: aux = inversa[C(i,j)];
```

Código 2: acesso invertido (core.c)

```
224: FOR_IT(N, inversa[C(coluna,IT)] += x[IT])
```

Código 3: acesso invertido (core.c)

```
68: FOR_IT(N, inversa[C(coluna,IT)] = x[IT])
```

Código 4: acesso invertido (invmat.c)

```
26: fprintf(arq, "%.17g ", matriz[C(j,i)]);
```

```
28: fprintf(arq, "%.17g\n", matriz[C(N-1,i)]);
```

Código 5: acesso normal (entrada_saida.c)

3.3 Matrizes L e U

o acesso as matrizes LU ocorria de maneira fragmentada na versão original. Isso se deve ao fato dos algoritmos de *forward/backward substitution* não terem sido modificados em sua implementação para realizar um acesso mais eficiente. Na versão otimizada isso foi alterado completamente, permitindo um acesso sequencial tanto de L quanto de U na resolveSistema.

3.3.1 Modificações Implementadas

Primeiramente as matrizes L e U foram separadas, cada uma armazenada em um vetor, para que seus dados estivessem em ordem na memória (ver Código 6). Como a estrutura foi alterada o método de acesso também foi alterado, para isso duas definições foram criadas (ver Código 7).

```
28: || alocaAlinhado(L,N*(N-1)/2)
29: || alocaAlinhado(U,N*(N+1)/2)
```

Código 6: alocação de L e U (utils.c)

```
34: #define indiceL(i,j) (((i)*((i)+1)/2)+(j))-(i)
40: #define indiceU(i,j) (((N-1-(i))*((N-i))/2)+N-1-(j))
```

Código 7: macros para acesso de L e U (utils.h)

Foi necessário devido a modificação da estrutura de dados uma atualização na maneira de funcionamento de decompLU, além disso, por um motivo que será explicado a seguir foi necessário realizar uma reorganização dos vetores L e U no final da decomposição (ver Código 8).

```
104: for(int i = 0; i < N; i++){
105:     for(int k = i+1; k < N; k++){
106:         Lt[indiceLT(i,k)] = L[indiceL(k,i)];
107:     }
108: }
111: for(int i = N-1; i >= 0; i--){
112:     Ut[indiceUT(i,i)] = U[indiceU(i,i)];
113:     for(int k = i-1; k >= 0; k--){
114:         Ut[indiceUT(i,k)] = U[indiceU(k,i)];
115:     }
116: }
```

Código 8: reordenação de L e U (core.c)

A otimização ocorreu na função resolveSistema, que teve a ordem dos laços alteradas para satisfazer o objetivo da alteração (ver Código 9). Com as definições de acesso de L e U existentes não era possível converter um endereço de 2 índices para de 1 índice corretamente, por esse motivo foram implementados duas novas definições (ver Código 10).

```
140: for(int i = 0; i < N; i++){
141:     yy = y[i];
142:     for(int k = i+1; k < N; k++){
143:         y[k] -= L[indiceLT(i,k)] * yy;
144:     }
```

```

145: }
148: for(int i = N-1; i >= 0; i--){
149:     xx = y[i]/U[indiceUT(i, i)];
150:     for(int k = i-1; k >= 0; k--){
151:         y[k] -= U[indiceUT(i, k)] * xx;
152:     }
153:     x[i] = y[i]/U[indiceUT(i, i)];
154: }

```

Código 9: laço de solução de sistema (core.c)

```

46: #define indiceLT(i, j) (((N-1+N-(i))*i/2)+((j)-1-(i)))
52: #define indiceUT(i, j) ((N+(i))*(N-1-(i))/2+(N-1-(j)))

```

Código 10: macros para acesso modificado de L e U (utils.h)

3.3.2 Custos Adicionais

Como na função `decompLU` é necessário realizar a cópia da matriz entrada para LU a versão original era mais eficiente neste aspecto, pois tanto na entrada quanto em LU o acesso era sequencial, com a estrutura da versão otimizada as alterações fizeram com que os acessos não ocorressem de forma sequencial devido a separação de LU em L e U.

Ainda na função `decompLU` é necessário realizar a reorganização dos elementos, o que custou mais memória (2 vetores temporários, um para L, outro para U) e o custo de acesso a memória na reorganização propriamente dita.

3.3.3 Dificuldades

Para implementar as alterações algumas dificuldades foram enfrentadas, vale ressaltar a dificuldade para montar as formulas de acesso LT e UT, a modificação dos laços (tanto a ordem de acesso quanto os limites do laço) e por fim as alterações na `decompLU`.

A função `decompLU` demandou cuidado pois para replicar o comportamento da versão original com a estrutura da versão otimizada foram adicionadas condicionais nos laços de repetição, como isso causa perda de desempenho, todos os laços foram segmentados de maneira a evitar o uso de condicionais. A reorganização também foi complicada pois exigiu atenção com os índices que se tornaram demasiadamente confusos.

3.4 Matriz Resíduo

A matriz resíduo desempenha um grande papel na execução do código pois é acessada para escrita durante cada iteração, por isso foi decidido realizar acesso sequencial desta matriz.

3.4.1 Modificações Implementadas

O laço de cálculo de resíduo foi alterado (ver Código 11) para garantir um acesso linear (mas ainda assim "redundante" devido ao algoritmo de multiplicação utilizado) da matriz resíduo.

```
201: for (i=0; i<N; i++) {
202:     residuo[C(i,i)] += 1;
203:     for (j=0; j<N; j++) {
204:         aux = inversa[C(i,j)];
205:         for (k=0; k<N; k++) {
206:             residuo[C(i,k)] -= (entrada[C(j,k)] * aux);
207:         }
208:     }
209: }
```

Código 11: laço do cálculo do resíduo (core.c)

Esta alteração do laço fez com que o acesso à matriz de entrada fosse realizado de forma não sequencial, com a matriz armazenada de maneira transposta o acesso ocorreria de maneira ideal, por isso é realizada antes do processo de refinamento a transposição da matriz entrada (ver Código 12).

```
184: for (i = 0; i < N-1; i++){
185:     for (j = i+1; j < N; j++){
186:         double swap = entrada[C(i,j)];
187:         entrada[C(i,j)] = entrada[C(j,i)];
188:         entrada[C(j,i)] = swap;
189:     }
190: }
```

Código 12: transposição da matriz entrada (core.c)

3.4.2 Custos Adicionais

O custo de transpor a matriz entrada foi adicionado, pois esta operação não era necessária anteriormente e não substitui nenhuma outra, portanto resultou diretamente apenas em custo adicionado.

Durante o cálculo de resíduo a matriz inversa é acessada de forma fragmentada temporalmente, ou seja, para cada acesso de um elemento da inversa, são acessados N elementos do resíduo e da matriz entrada antes do acesso ao próximo elemento da inversa.

3.4.3 Dificuldades

As modificações no laço se mostraram menos triviais do que o esperado, e a transposição da matriz entrada exigiu dedicação para ocorrer de forma correta devido aos limites não usuais dos laços utilizados na operação.

4 Análise de Desempenho

Nesta seção serão apresentados gráficos que exibem os dados coletados com o auxílio do pacote de ferramentas LIKWID, chamadas da função *timestamp()* e o comando *time*.

Os gráficos possuem um padrão em sua exibição, o eixo das abscissas representa o tamanho de um lado da matriz quadrada (N), já as ordenadas são relativas ao valor coletado em escala logarítmica.

4.1 Obtenção de Dados

Para obter os dados necessários para a análise foram utilizadas algumas técnicas diferentes, variando entre os dados desejados.

Isso exigiu várias execuções diferentes do mesmo programa, com pequenas variações nos parâmetros e tratamentos dos dados de saída, para isso o arquivo *bash.sh* foi criado e executado. A organização dos diretórios e arquivos durante o desenvolvimento foi alterada para a entrega, assim o arquivo *bash.sh*, se executado, não irá apresentar o funcionamento esperado.

O ambiente de teste utilizado foi uma máquina rodando o sistema operacional Ubuntu versão 16.04.1, operando sobre um processador Intel(R) Core(TM) i5-2410M CPU @ 2.30GHz, é possível observar informações adicionais sobre o processador no arquivos *topologia*.

4.1.1 Tempo

Com a média da diferença entre uma chamada da função no fim de uma parte do código com uma chamada no começo desta parte de código foram obtidos os dados que compõe o Gráfico 2.

Foi feita também a medição do tempo total de execução de cada versão com o uso do comando *time* do *bash*, é possível ver os dados no Gráfico 1.

4.1.2 Cache L2 - Miss Ratio

Para coletar o *miss ratio* da memória cache L2 foi usada a API de marcação do LIKWID. O Gráfico 5 contém o que foi coletado.

4.1.3 Operações de Ponto Flutuante

Com a API de marcação do LIKWID foram analisadas a quantidade de MFLOP/s em duas modalidades, operações DP gerais e operações DP AVX, os Gráficos 3 e 4 mostram o resultado respectivamente.

Como não foi possível realizar operações AVX na versão original, o valor de MFLOP/s é 0 para todas as execuções e portanto não é exibido no Gráfico 4.

4.1.4 Cache L3 - Bandwith

A medição da *bandwidth* da memória cache L3 foi obtida com o auxílio da API de marcação do LIKWID. No Gráfico 6 é possível observar os dados obtidos.

4.2 Análise dos Dados Obtidos

Abordando primeiramente o Gráfico 1, é possível perceber que com matrizes de tamanhos pequenos (N até 65), o desempenho em questão de tempo é melhor obtido com a versão original, e após certo tamanho de N a velocidade da versão otimizada é mais rápida, em 2 vezes na média, com N entre 128 e 2000.

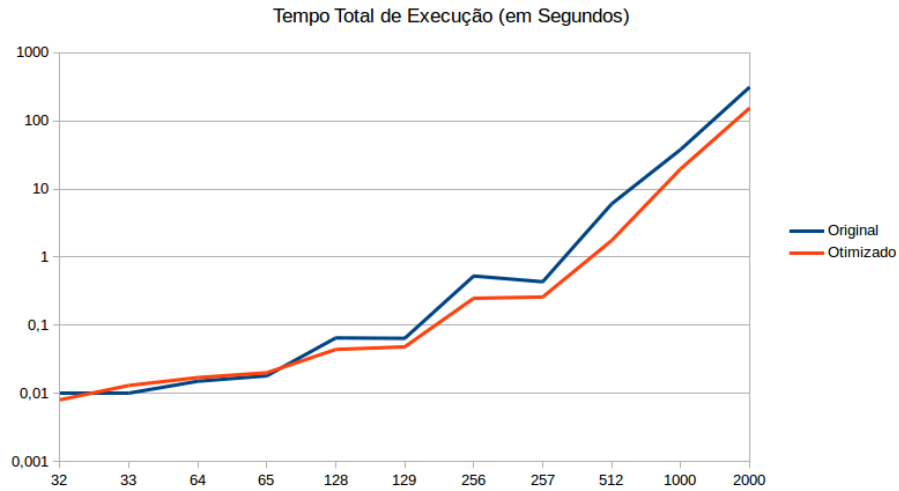


Gráfico 1: tempo de execução

Isso é num primeiro momento contra intuitivo. Com uma investigação sobre o Gráfico 2, é possível perceber com maior precisão onde ocorre essa perda de desempenho na versão otimizada.

A operação 1 possui um comportamento próximo nas duas versões, quando N é pequeno, então a diferença do desempenho não deve ser atribuída as modificações realizadas neste trecho de código.

A operação 2 por sua vez apresenta um diferença para N até 33, porém para N maiores, a versão otimizado apresenta um desempenho maior, então é evidente que isso teve influência na diferença de desempenho, mas não explica o resultado para N igual a 64 e N igual a 65.

Continuando a análise agora pela quantidade de operações ponto flutuante executadas por segundo, mostrada no Gráfico 3, é concebível que, o número mais baixo de Mflop/s durante a operação 1 na versão otimizada em relação a versão original para N menor que 64, esteja relacionado ao desempenho obtido

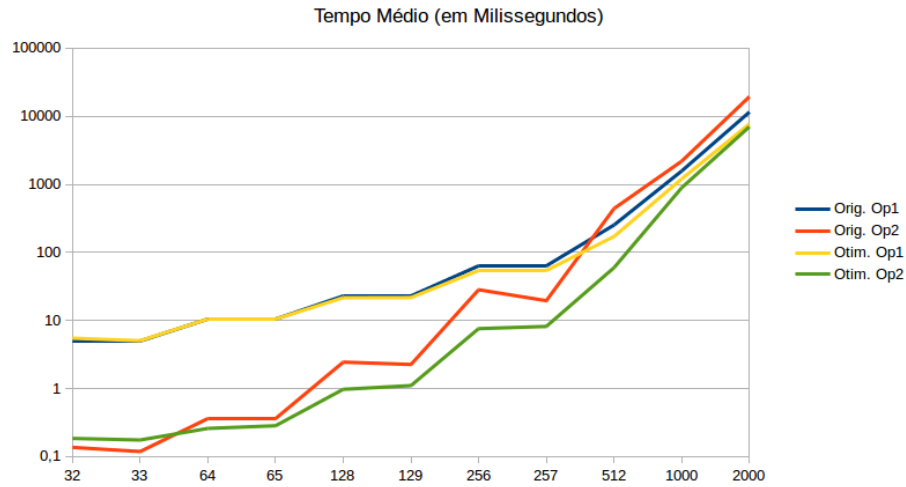


Gráfico 2: tempo médio

nestas execuções. Porém ainda não é possível determinar se é o um efeito ou a causa do problema.

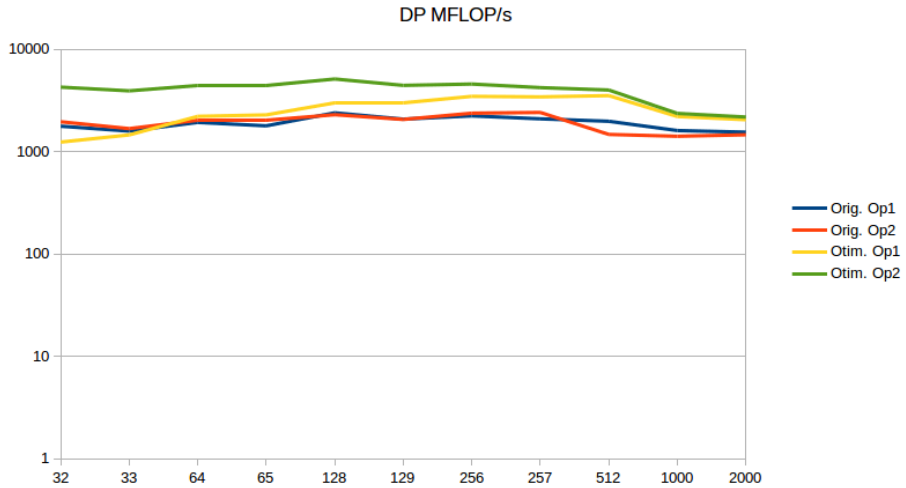


Gráfico 3: operações ponto flutuante

Como já explicado, a versão original não produz instruções AVX, portanto a análise do Gráfico 4 não trará informações para explicar a discrepância do desempenho.

Os dados de *miss ratio* da memória cache L2 e de *bandwidth* da cache L3,

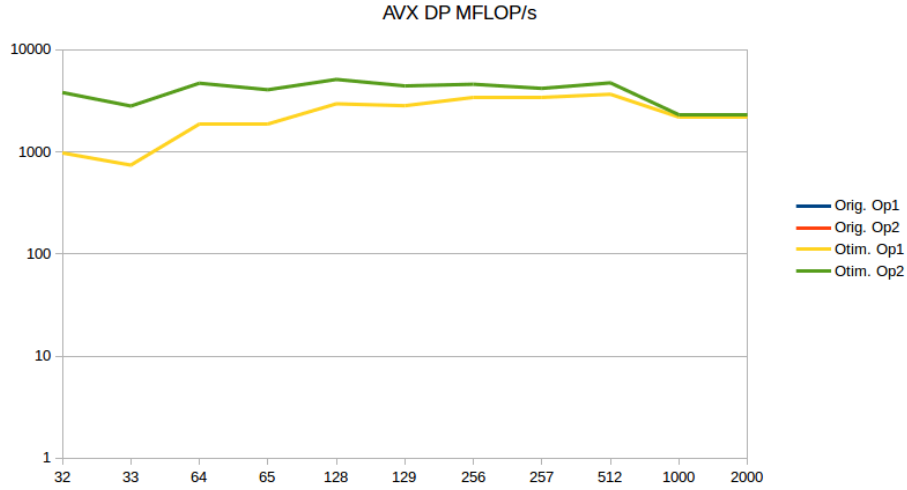


Gráfico 4: operações AVX

que podem ser visualizados nos Gráficos 5 e 6 respectivamente, apresentam um padrão de comportamento não óbvio.

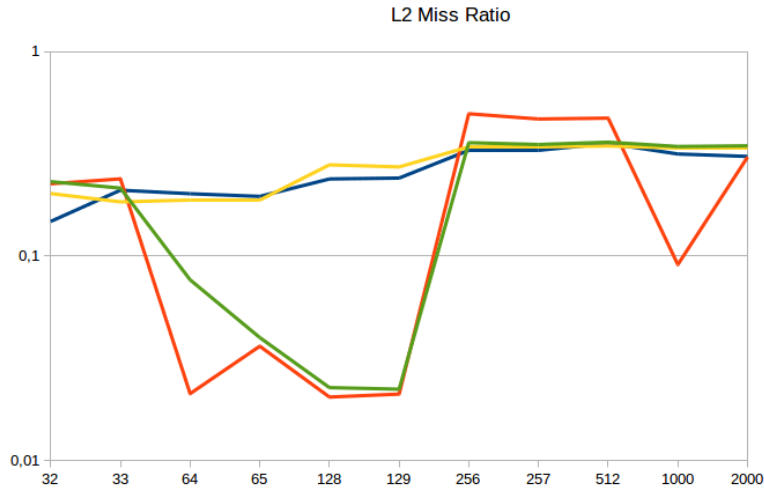


Gráfico 5: miss ratio da L2

É possível assumir que uma possível causa da perda de desempenho é o aumento de *cache misses* para a operação 2 na versão otimizada com N até 65.

Para a diferença de desempenho, as informações sobre *bandwidth* da cache L3 não possuem um resultado que indique um efeito direto no tempo de execução

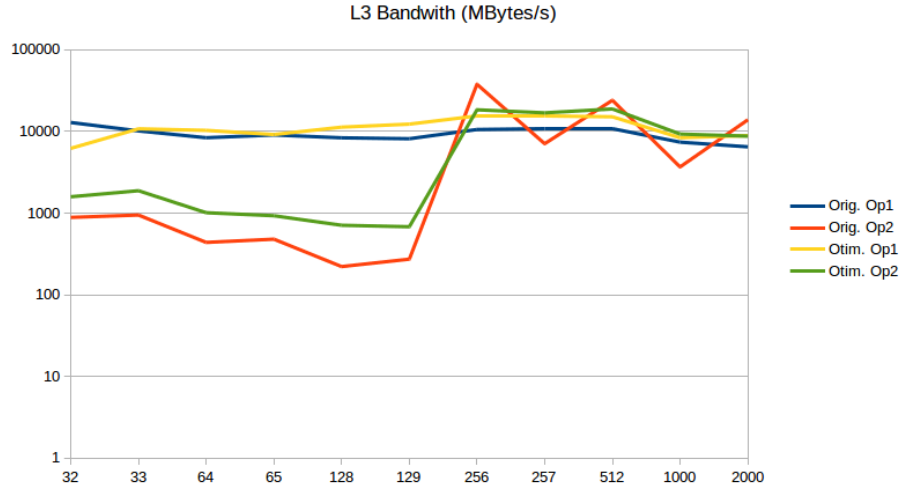


Gráfico 6: bandwidth da L3

para N pequeno.

4.3 Possíveis Conclusões

É importante ressaltar o fato de que os dados utilizados são apenas de um sequência de execução do programa para cada conjunto de dados obtidos, portanto é possível que pequenas interferências como variações da configuração dinâmica do consumo da CPU e distribuição pelo escalonador de processos ocorram. Para dados mais acurados seria necessário executar o programa múltiplas vezes com uma mesma entrada, e calcular a média da saída, mas o tempo necessário para isso foge do escopo do projeto.

Com o esclarecimento sobre a acurácia dos dados, uma possível explicação para o comportamento inesperado da versão otimizado, com N até 65, seriam as pequenas interferências, uma vez que o tempo de execução total pode ter um aumento de acordo com o impacto das interferências. Isso não seria muito aparente para N maiores pois o impacto das interferências não aumentam proporcionalmente com o tempo de execução de um programa.

As potenciais interferências não fornecem uma resposta totalmente satisfatória e nem todas as alterações do código foram medidas individualmente, então é possível que alguma parte externa da op1 e op2 tenha causado o tempo maior para alguns casos de execução da versão otimizada. As alterações expostas na Seção 3 que não atuam somente nas operações 1 e 2 são as explicadas nas subseções 3.1, 3.2 e 3.3.

A alocação de memória dificilmente teve influência no consumo de tempo de modo significativo, uma vez que ainda ocorre na mesma quantidade e a função *posix_memalign()* não tem um custo significativamente superior a função

malloc(). Portanto a alteração da subseção 3.1 não deve é responsável pela divergência de desempenho.

As alterações causadas pela mudança de acesso a inversa que não estão incluídas nas operações 1 e 2 são o acesso para montar a primeira solução calculada e a impressão da matriz, mostradas nos Códigos 4 e 5 respectivamente. A montagem da solução ocorria na versão original com um acesso não sequencial de memória, a versão otimizada gera um acesso sequencial, portanto isso resulta em uma melhoria no tempo, não sendo o motivo de maior gasto de tempo. Já a impressão da matriz, realiza na versão otimizada, acesso não sequencial, porém como só é chamada uma vez em cada execução e o acesso é somente de leitura o impacto não seria suficiente para gerar o gasto observado.

Com a separação de LU em L e U ocorreram várias adições durante o processo de decomposição (na função *decompLU*), as alterações que poderiam causar maior impacto seriam a reorganização de L e U ao final da decomposição (mostrada no Código 8) e as alterações realizadas no processo de pivotamento, que fazem acessos não sequenciais a L e a U.

É muito provável que as alterações em *decompLU* tenham causado o aumento no tempo, uma vez que com matrizes pequenas (que caibam inteira, ou quase inteiramente na cache) a única implicação das alterações são mais operações executadas e acessos de memória, porém com matrizes grandes o custo de realizar este procedimento é amortizado pelo desempenho ganho em cada execução da função *resolveSistema*.

A operação 1 otimizada (exibida no Código 9) na maior parte de sua execução realiza acesso de uma informação, trabalha sobre ela, e nunca volta a utilizar a mesma (até a próxima chamada), portanto o *miss ratio* sobre a L2 é quase constante (como visto no Gráfico 5).

A mesma relação do motivo do *ratio* constante com o acesso realizado na operação 1 otimizada por ser feito com a *bandwidth* da L3 que ocorre durante essa operação (conforme Gráfico 6).

O comportamento da operação 2 otimizada em relação ao *miss ratio* da L2 (Gráfico 5) pode ser explicado pelo fato de que com matrizes pequenas (N até 34) ocorrem muitos misses pois não existe ainda nenhum dado na memória e quando todo o conteúdo acessado está carregado, os dados não são mais utilizados. Com matrizes médias (N entre 64 e 129) ao passo em que a matriz aumenta, o acesso repetido da mesma informação é realizado, com isso se aproveitando da cache e diminuindo os *misses*, até um ponto onde N é grande demais (N a partir de 256) para caber completamente na memória cache e volta a gerar um grande número de cache *misses*.

É possível imaginar que algo parecido ocorre com a operação 2 otimizada se tratando da *bandwidth* da L3, uma vez que a quantidade de memória transitada é diretamente afetada pela quantidade de memória acessada que não se encontra na cache. Até certo tamanho de matriz (N igual a 129) grande parte dos dados operados cabem na cache, com matrizes maiores falta espaço para dados na cache e mais memória é solicitada e assim ocorre uma maior movimentação de dados.

Para maiores conclusões seriam necessários novos experimentos, como a

medição da quantidade total de memória acessada e o número de operações de ponto flutuante realizadas. A coleta desses dados foge do escopo deste trabalho e por isso não foi realizada.

5 Considerações finais

Para concluir o trabalho foi necessário um entendimento profundo do código produzido e dos conceitos básicos de otimização. A refatoração do código foi de grande serventia, promovendo uma maior clareza sobre como o processo realizado ocorre e uma flexibilidade maior para aplicação de alterações. Foi necessário também lidar com a frustração de não atingir todos os objetivos buscados.

O resultado obtido não foi o planejado, mas quando considerado a dificuldade em planejar e implementar as modificações se torna satisfatório. Seria possível com mais tempo e pesquisa modificar ainda mais a solução encontrada, alcançando assim um desempenho ainda maior.

A análise não trouxe certezas sobre os motivos dos resultados, mas as teses derivadas da análise são o suficiente para compreender melhor como as alterações impactaram nos resultados do trabalho. Com mais testes, considerando um espaço amostral maior (aumentado variação de N e realizando execuções repetidas) e coletando informações adicionais seria possível analisar novos dados em busca de uma compreensão ainda maior sobre as alterações.